Barra N62/N44

Perfil: R 14
Material: Acero (S275)

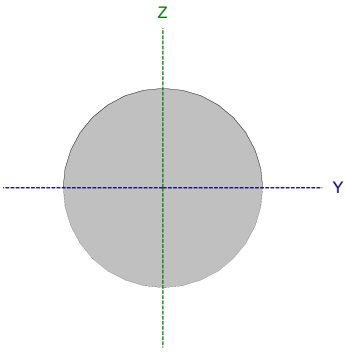

Nudos		Longitud (m)	Características mecánicas			
Inicial	Final		Área (cm²)	$I_y^{(1)}$ (cm4)	$I_z^{(1)}$ (cm4)	$I_t^{(2)}$ (cm4)
N62	N44	6.403	1.54	0.19	0.19	0.38

Notas:
(1) Inercia respecto al eje indicado
(2) Momento de inercia a torsión uniforme

	Pandeo		Pandeo lateral	
	Plano XY	Plano XZ	Ala sup.	Ala inf.
β	0.00	0.00	0.00	0.00
L_K	0.000	0.000	0.000	0.000
C_m	1.000	1.000	1.000	1.000
C_1	-		1.000	

Notación:
β: Coeficiente de pandeo
L_K: Longitud de pandeo (m)
C_m: Coeficiente de momentos
C_1: Factor de modificación para el momento crítico

Barra	COMPROBACIONES (CTE DB SE-A)														Estado
	$\bar{\lambda}$	N_t	N_c	M_Y	M_Z	V_Z	V_Y	M_YV_Z	M_ZV_Y	NM_YM_Z	$NM_YM_ZV_YV_Z$	M_t	M_tV_Z	M_tV_Y	
N62/N44	$\bar{\lambda} \leq 4.0$ Cumple	η = 69.0	N_{Ed} = 0.00 N.P.(1)	M_{Ed} = 0.00 N.P.(2)	M_{Ed} = 0.00 N.P.(2)	V_{Ed} = 0.00 N.P.(3)	V_{Ed} = 0.00 N.P.(3)	N.P.(4)	N.P.(4)	N.P.(5)	N.P.(6)	M_{Ed} = 0.00 N.P.(7)	N.P.(8)	N.P.(8)	**CUMPLE η = 69.0**

Notación:
$\bar{\lambda}$: Limitación de esbeltez
N_t: Resistencia a tracción
N_c: Resistencia a compresión
M_Y: Resistencia a flexión eje Y
M_Z: Resistencia a flexión eje Z
V_Z: Resistencia a corte Z
V_Y: Resistencia a corte Y
M_YV_Z: Resistencia a momento flector Y y fuerza cortante Z combinados
M_ZV_Y: Resistencia a momento flector Z y fuerza cortante Y combinados
NM_YM_Z: Resistencia a flexión y axil combinados
$NM_YM_ZV_YV_Z$: Resistencia a flexión, axil y cortante combinados
M_t: Resistencia a torsión
M_tV_Z: Resistencia a cortante Z y momento torsor combinados
M_tV_Y: Resistencia a cortante Y y momento torsor combinados
x: Distancia al origen de la barra
η: Coeficiente de aprovechamiento (%)
N.P.: No procede

Comprobaciones que no proceden (N.P.):
(1) La comprobación no procede, ya que no hay axil de compresión.
(2) La comprobación no procede, ya que no hay momento flector.
(3) La comprobación no procede, ya que no hay esfuerzo cortante.
(4) No hay interacción entre momento flector y esfuerzo cortante para ninguna combinación. Por lo tanto, la comprobación no procede.
(5) No hay interacción entre axil y momento flector ni entre momentos flectores en ambas direcciones para ninguna combinación. Por lo tanto, la comprobación no procede.
(6) No hay interacción entre momento flector, axil y cortante para ninguna combinación. Por lo tanto, la comprobación no procede.
(7) La comprobación no procede, ya que no hay momento torsor.
(8) No hay interacción entre momento torsor y esfuerzo cortante para ninguna combinación. Por lo tanto, la comprobación no procede.

Producido por una versión educativa de CYPE

Limitación de esbeltez (CTE DB SE-A, Artículos 6.3.1 y 6.3.2.1 - Tabla 6.3)

La esbeltez reducida $\bar{\lambda}$ de las barras de arriostramiento traccionadas no debe superar el valor 4.0.

$$\bar{\lambda} = \sqrt{\frac{A \cdot f_y}{N_{cr}}}$$

$\bar{\lambda}$ < ***0.01*** ✓

Donde:

A: Área bruta de la sección transversal de la barra. **A** : *1.54* cm²

f_y: Límite elástico. (CTE DB SE-A, Tabla 4.1) **f_y** : *275.00* MPa

N_{cr}: Axil crítico de pandeo elástico. **N_{cr}** : ∞

Resistencia a tracción (CTE DB SE-A, Artículo 6.2.3)

Se debe satisfacer:

$$\eta = \frac{N_{t,Ed}}{N_{t,Rd}} \leq 1$$

η : **0.690** ✓

El esfuerzo solicitante de cálculo pésimo se produce para la combinación de acciones 1.35·PP+1.35·CM+1.5·V(90°)H2+0.75·N(EI).

$\mathbf{N_{t,Ed}}$: Axil de tracción solicitante de cálculo pésimo. $\mathbf{N_{t,Ed}}$: 27.83 kN

La resistencia de cálculo a tracción $\mathbf{N_{t,Rd}}$ viene dada por:

$$\mathbf{N_{t,Rd}} = A \cdot f_{yd}$$

$\mathbf{N_{t,Rd}}$: 40.32 kN

Donde:

A: Área bruta de la sección transversal de la barra. **A** : 1.54 cm²

$\mathbf{f_{yd}}$: Resistencia de cálculo del acero. $\mathbf{f_{yd}}$: 261.90 MPa

$$\mathbf{f_{yd}} = f_y / \gamma_{M0}$$

Siendo:

$\mathbf{f_y}$: Límite elástico. (CTE DB SE-A, Tabla 4.1) $\mathbf{f_y}$: 275.00 MPa

γ_{M0}: Coeficiente parcial de seguridad del material. γ_{M0} : 1.05

Resistencia a compresión (CTE DB SE-A, Artículo 6.2.5)

La comprobación no procede, ya que no hay axil de compresión.

Resistencia a flexión eje Y (CTE DB SE-A, Artículo 6.2.6)

La comprobación no procede, ya que no hay momento flector.

Resistencia a flexión eje Z (CTE DB SE-A, Artículo 6.2.6)

La comprobación no procede, ya que no hay momento flector.

Resistencia a corte Z (CTE DB SE-A, Artículo 6.2.4)

La comprobación no procede, ya que no hay esfuerzo cortante.

Resistencia a corte Y (CTE DB SE-A, Artículo 6.2.4)

La comprobación no procede, ya que no hay esfuerzo cortante.

Resistencia a momento flector Y y fuerza cortante Z combinados (CTE DB SE-A, Artículo 6.2.8)

No hay interacción entre momento flector y esfuerzo cortante para ninguna combinación. Por lo tanto, la comprobación no procede.

Resistencia a momento flector Z y fuerza cortante Y combinados (CTE DB SE-A, Artículo 6.2.8)

No hay interacción entre momento flector y esfuerzo cortante para ninguna combinación. Por lo tanto, la comprobación no procede.

Resistencia a flexión y axil combinados (CTE DB SE-A, Artículo 6.2.8)

No hay interacción entre axil y momento flector ni entre momentos flectores en ambas direcciones para ninguna combinación. Por lo tanto, la comprobación no procede.

Resistencia a flexión, axil y cortante combinados (CTE DB SE-A, Artículo 6.2.8)

No hay interacción entre momento flector, axil y cortante para ninguna combinación. Por lo tanto, la comprobación no procede.

Reproducción por una versión educativa de CYPE

Resistencia a torsión (CTE DB SE-A, Artículo 6.2.7)

La comprobación no procede, ya que no hay momento torsor.

Resistencia a cortante Z y momento torsor combinados (CTE DB SE-A, Artículo 6.2.8)

No hay interacción entre momento torsor y esfuerzo cortante para ninguna combinación. Por lo tanto, la comprobación no procede.

Resistencia a cortante Y y momento torsor combinados (CTE DB SE-A, Artículo 6.2.8)

No hay interacción entre momento torsor y esfuerzo cortante para ninguna combinación. Por lo tanto, la comprobación no procede.

Producido por una versión educativa de CYPE